

第五章 线性系统的频域分析法

第一节 频率特性

第二节 典型环节与开环系统的频率特性

第三节 频率域稳定判据

第四节 稳定裕度

第五节 闭环系统的频域性能指标

第六节 控制系统频域设计

5.3 频率域稳定判据

二、奈奎斯特稳定判据（奈氏判据）

反馈控制系统稳定的充分必要条件：

- 闭合曲线 Γ_{GH} 不穿过临界点 $(-1, j0)$ 点，
- 且逆时针包围临界点 $(-1, j0)$ 点的圈数 R 等于开环传递函数的正实部（右半平面）极点数 P 。——隐含右半平面零点数为0

反馈控制系统闭环传递函数的极点（ $A+B=0$ ）——正实部极点



函数 $F=1+GH$ 的零点（ $A+B=0$ ）——正实部零点

s 平面闭合曲线 Γ 包围函数 $F=1+GH$ 的零点（ $A+B=0$ ）



s 平面闭合曲线 Γ 包围闭环传递函数的极点（ $A+B=0$ ）

稳定充要条件：
右零点数 $Z=0$

5.3 频率域稳定判据

零点个数 Z : $Z=P-R$

$F(s)$ 的零点: 闭环传递函数的极点, 数量 Z

$F(s)$ 的极点: 开环传递函数的极点, 数量 P

目标: $F(s)$ 右半平面的零点个数 $Z=0$

- 当 $R \neq P$ 时, $Z \neq 0$, 系统不稳定。
- 当半闭合曲线 Γ_{GH} 穿过 $(-1, j0)$ 时, 表明存在 $s = \pm j\omega_n$, 使得 $G(\pm j\omega_n)H(\pm j\omega_n) = -1$, 即系统闭环特征方程存在共轭纯虚根, 则系统临界稳定。
- 零点个数 Z 不是开环传递函数右半平面的零点个数, 而是 $F(s)$ 右半平面的零点个数。
- 极点数 P 是开环传函右半平面极点数 P , P 不为零没关系, 只要逆时针包围圈数 R 等于 P 就行。——例如: 非最小相位系统

5.3 频率域稳定判据

右半平面有无闭环极点?

$Z=0$, 则右半平面无闭环极点,
闭环系统稳定!

闭环极点= $F(s)$ 零点

奈奎斯特稳定判据

右半平面有无 $F(s)$ 零点?

开环频率特性曲线 GH 绕 $(-1, j0)$
点逆时针转 $R=P$ 周? (是, $Z=0$)

Γ 曲线 $\xrightarrow{\text{映射}}$ 映射曲线 Γ_F

映射曲线 Γ_{GH} 是 ω 从
 $-\infty$ 变化到 $+\infty$ 时开环
频率特性曲线

$F(s)$ 的映射曲线 Γ_F 绕原点
逆时针转 $R=P$ 周?

$$G(s)H(s)=F(s)-1$$

$G(s)H(s)$ 的映射曲线 Γ_{GH} 绕 $(-1, j0)$
点逆时针转 $R=P$ 周?

曲线 Γ 不通过 $F(s)$ 的奇点 (即 $F(s)$ 的零点和极点)

5.3 频率域稳定判据

应用奈奎斯特判据判断系统稳定性的步骤：

- 1) 根据系统开环传递函数，确定开环传递函数右半平面极点数量 P 。
- 2) 根据系统开环传递函数，确定虚轴上的极点情况。
- 3) 根据系统开环传递函数，绘制开环幅相特性曲线，并绘制增补曲线。
- 4) 根据系统开环幅相特性曲线及其增补曲线，计算逆时针包围 $(-1, j0)$ 点的圈数 R 。
- 5) 利用奈奎斯特判据，判断是否满足 $R=P$ 。
- 6) 若满足 $R=P$ ，即 $Z=0$ ，则系统稳定；否则不稳定。

5.3 频率域稳定判据

例 系统开环传递函数为 $G(s)H(s) = \frac{K}{s(1+T_1s)(1+T_2s)}$

试判断负反馈闭环系统的稳定性。 K, T_1, T_2 均大于0

解 开环系统 无右半平面极点，即 $P=0$ 。——2个左半平面极点，不统计。

$\nu=1$ 一个虚轴上极点，且在原点。——需要补线

系统的频率特性 $G(j\omega)H(j\omega) = \frac{K}{j\omega(1+j\omega T_1)(1+j\omega T_2)}$

$$= \frac{-K(T_1 + T_2)}{[1 + (\omega T_1)^2][1 + (\omega T_2)^2]} + j \frac{-K(1 - T_1 T_2 \omega^2)}{\omega[1 + (\omega T_1)^2][1 + (\omega T_2)^2]}$$

5.3 频率域稳定判据

$$= \frac{-K(T_1 + T_2)}{[1 + (\omega T_1)^2][1 + (\omega T_2)^2]} + j \frac{-K(1 - T_1 T_2 \omega^2)}{\omega[1 + (\omega T_1)^2][1 + (\omega T_2)^2]}$$

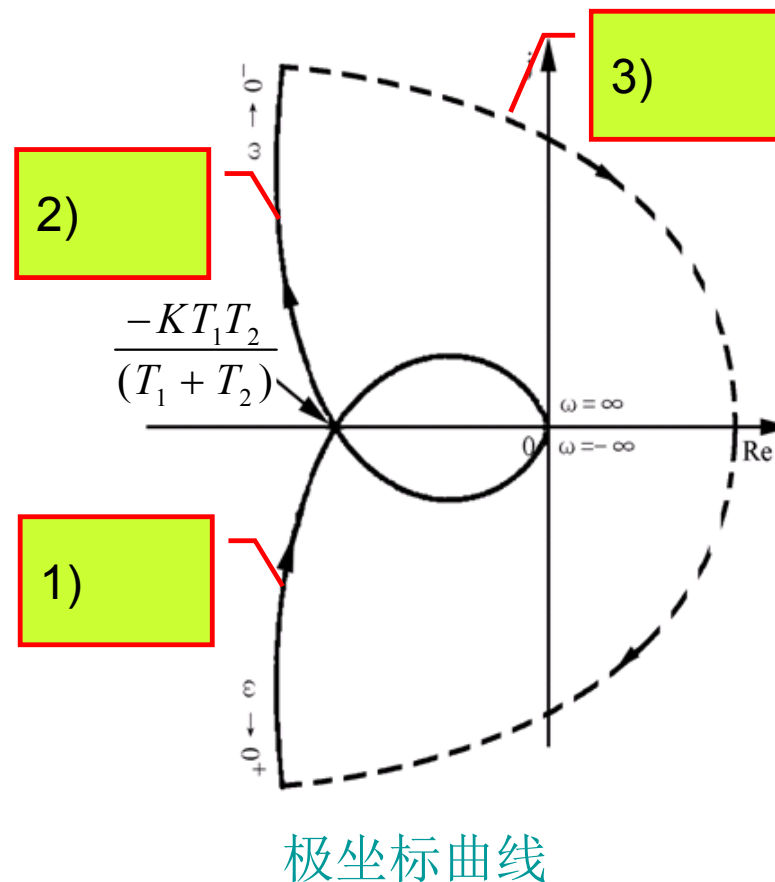
1) 作出 $\omega=0^+ \rightarrow +\infty$ 变化时 $G(j\omega)H(j\omega)$ 的曲线；

2) 根据镜像对称得 $\omega=-\infty \rightarrow 0^-$ 变化时 $G(j\omega)H(j\omega)$ 的曲线；

3) 从 $\omega=0^-$ 到 $\omega=0^+$ 以无限大为半径顺时针转过 π ，得增补曲线。

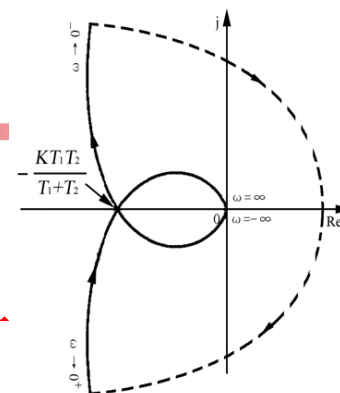
虚部为零: $1 - T_1 T_2 \omega^2 = 0 \quad \omega = \frac{1}{\sqrt{T_1 T_2}}$

代入实部: $\frac{-K T_1 T_2}{(T_1 + T_2)}$



5.3 频率域稳定判据

当 ω 由 $-\infty \rightarrow +\infty$ 变化时,



1) 当 $\frac{KT_1T_2}{T_1+T_2} > 1$ 时, $G(j\omega)H(j\omega)$ (ω 从 $-\infty \rightarrow +\infty$) 曲线**顺时针包围** $(-1, j0)$ 点**2圈**, 即 $R = -2$ 。开环系统**无**右边平面

极点 $P=0$ 。所以, 闭环系统右极点个数 $Z=P-R=2$ 。

闭环系统不稳定, 有2个闭环右极点

2) 当 $\frac{KT_1T_2}{T_1+T_2} < 1$ 时, $G(j\omega)H(j\omega)$ (ω 从 $-\infty \rightarrow +\infty$) 曲线**不包围** $(-1, j0)$ 点, $R=0$ 。 $Z=P-R=0$ 。

闭环系统稳定

3) 当 $\frac{KT_1T_2}{T_1+T_2} = 1$ 时, $G(j\omega)H(j\omega)$ (ω 从 $-\infty \rightarrow +\infty$) 曲线**穿越** $(-1, j0)$ 点。

系统处于临界状态 临界放大倍数 $K_{\text{临}} = \frac{T_1+T_2}{T_1T_2}$

5.3 频率域稳定判据

P203 5-34

例 已知单位负反馈系统的开环传递函数 $G(s) = \frac{10}{s(s+1)\left(\frac{s^2}{4} + 1\right)}$

试判断系统的闭环稳定性

解: $G(s)$ 在 s 右半平面内无极点 $P=0$,

有一个原点处极点 $\nu=1$, 有共轭的虚极点 $s = \pm j2$ 。

仅看
半闭
合曲
线

$$\lim_{\omega \rightarrow 0^+} G(j\omega) = \infty \angle -90^\circ$$

$$\lim_{\omega \rightarrow \infty} G(j\omega) = 0 \angle -360^\circ$$

$$\lim_{\omega \rightarrow 2^-} G(j\omega) = \infty \angle -153.4^\circ$$

$$\lim_{\omega \rightarrow 2^+} G(j\omega) = \infty \angle -333.4^\circ$$

振荡
环节

$$\varphi(\omega) = \begin{cases} -\arctan\left(\frac{2\zeta\omega T}{1-\omega^2 T^2}\right), & \omega \leq \omega_n \\ -\left[\pi - \arctan\left(\frac{2\zeta\omega T}{\omega^2 T^2 - 1}\right)\right], & \omega > \omega_n \end{cases}$$

$\zeta = 0$

开环系统 $\varphi_{\text{开}}(\omega) = -90 - \arctan \omega + \varphi(\omega)$

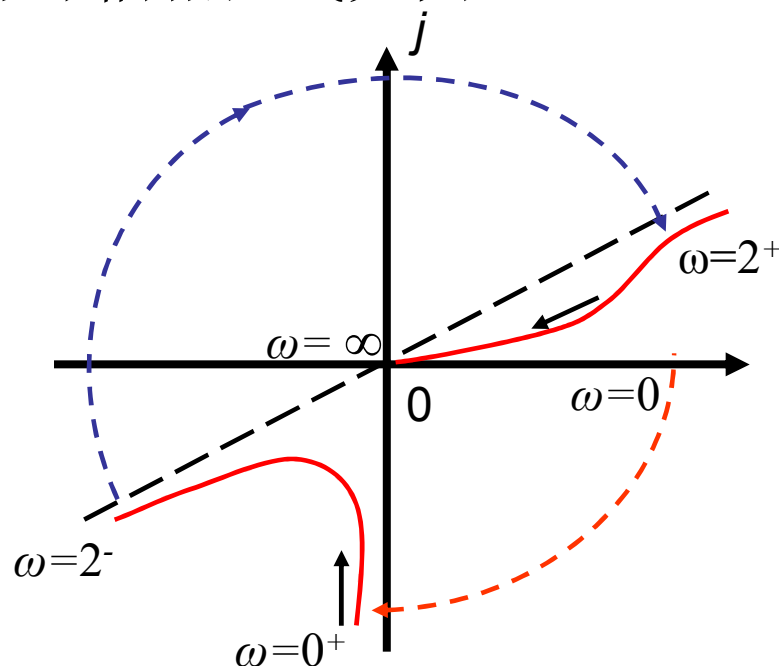
对于 $1/s+1$ 环节, $\omega=2$ 时 $\arctan 2 = 63.4^\circ$

$$\varphi_{\text{开}}(\omega) = -90 - \arctan 2 = -90 - 63.4 = -153.4$$

$$\varphi_{\text{开}}(\omega) = -90 - \arctan 2 - 180 = -333.4$$

5.3 频率域稳定判据

系统开环幅相曲线如图



由于 $\nu=1$ ，从幅相曲线上对应 $\omega=0$ 的点起顺时针补作 90° 且半径为无穷大的虚圆弧至 $\omega=0+$ 。

因为存在一对虚极点 $\pm 2j$ ，故从对应 $\omega=2-$ 的点起顺时针补作 180° 且半径为无穷大的虚圆弧至 $\omega=2+$ 。

包围：当 ω 由 $-\infty \rightarrow +\infty$ 变化时，开环幅相曲线逆时针包围 $(-1, j0)$ 点 -2 圈， $R = -2$ 。因为 $P=0$ ，则 $Z = P - R = 0 + 2 = 2$ 。

闭环系统不稳定

穿越：当 ω 由 $-\infty \rightarrow +\infty$ 变化时，开环幅相曲线穿越 $(-1, -\infty)$ 段次数 $2N = -2$ ，即 $R = -2$ 。因为 $P=0$ ，则 $Z = P - 2N = 2$ 。闭环系统不稳定

5.3 频率域稳定判据

三、对数稳定判据（Bode图判据）

- 奈氏判据：半闭合曲线 Γ_{GH} 穿过 $(-1, j0)$ 点左侧负实轴情况。
- 半闭合曲线 Γ_{GH} 与对数频率特性曲线（Bode图）可相互转换（存在对应关系）。
- 可以利用对数频率特性曲线判断系统稳定性。

关键：根据 Γ_{GH} 的穿越次数确定对数频率特性曲线上的特征

截止频率 ω_c ：若 $L(\omega_c)=0\text{dB}$ ，则 ω_c 称作截止频率，又称0dB 频率。

穿越频率 ω_x ：若 $\varphi(\omega_x)=(2k+1)\pi \quad k=0, \pm 1, \dots$ ，则 ω_x 称作穿越频率，又称 180° 频率。

5.3 频率域稳定判据

1. 穿越点确定

半闭合曲线 Γ_{GH}

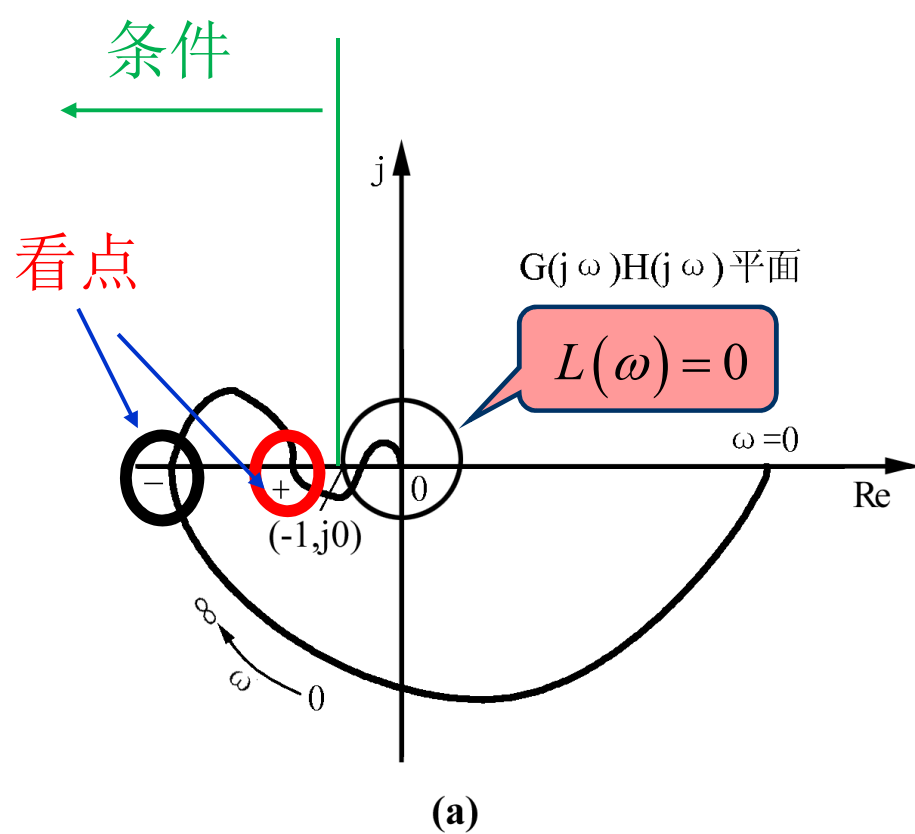
对数频率特性曲线 Γ_L 和 Γ_φ

$(-1, j0)$ $ G(j\omega_c)H(j\omega_c) = A(\omega_c) = 1$	ω_c 截止频率	Γ_L $\begin{cases} G(j\omega_c)H(j\omega_c) = A(\omega_c) = 1 \\ L(\omega_c) = 20\lg A(\omega_c) = 0 \end{cases}$
$\varphi(\omega_x) = (2k+1)\pi \quad k = 0, \pm 1, \dots$	ω_x 穿越频率	$\Gamma_\varphi \quad \varphi(\omega_x) = (2k+1)\pi \quad k = 0, \pm 1, \dots$

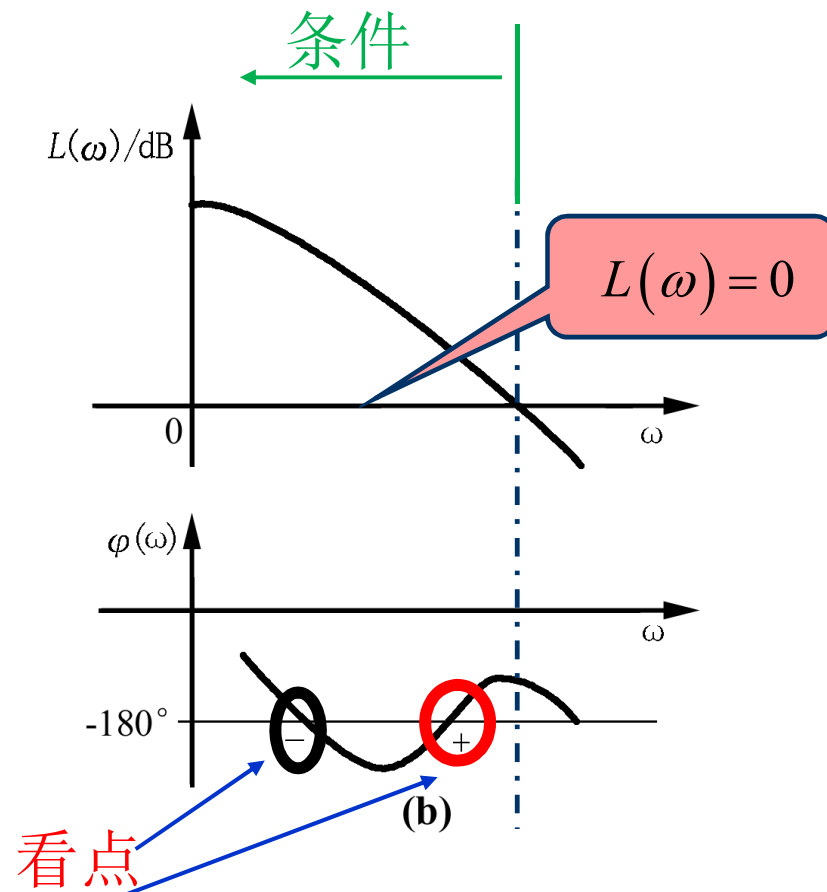
对比:

- Γ_{GH} 曲线穿越 $(-1, j0)$ 左侧负实轴时, $A(\omega) > 1$, 对应 $L(\omega) > 0$ 的区间。
- Γ_{GH} 曲线穿越 $(-1, j0)$ 左侧负实轴时, $\varphi(\omega)$ 与 $(2k+1)\pi \quad k=0, \pm 1, \dots$ 有交点, 对数相频特性曲线 $\varphi(\omega)$ 与 $(2k+1)\pi (k=0, \pm 1, \dots)$ 平行线相交。

5.3 频率域稳定判据



半闭合曲线 Γ_{GH}



对数频率特性曲线 Γ_L 和 Γ_φ

5.3 频率域稳定判据

2. Γ_φ 确定

- 1) 开环系统无虚轴上极点时, Γ_φ 等于 $\varphi(\omega)$ 曲线。
- 2) 开环系统存在积分环节 (原点处极点) 时, $\frac{1}{s^v} (v > 0)$

半闭合曲线 Γ_{GH}

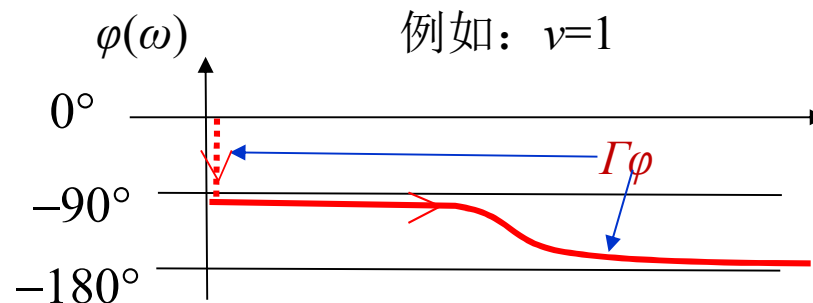
从 $\omega = 0_+$ 的开环幅相特性曲线的对应点 $G(j0_+)H(j0_+)$ 起, 逆时针补作 $v \times 90^\circ$ 半径为无穷大的虚圆弧。

这里的“逆时针”仅是告诉如何补曲线。不代表将来幅相曲线的方向。

两侧黄色部分一定要一一对应

对数频率特性曲线 Γ_L 和 Γ_φ

在 ω 较小且 $L(\omega) > 0$ 范围内, 从对数相频特性曲线的点向上补作 $v \times 90^\circ$ 的虚直线, $\varphi(\omega)$ 曲线和补作的虚直线构成 Γ_φ 。



5.3 频率域稳定判据

3) 开环系统存在等幅振荡环节时, $\frac{1}{(s^2 + \omega_n^2)^v} (v > 0)$

半闭合曲线 Γ_{GH}

从 $\omega = \omega_{n-}$ 的开环幅相特性曲线的对应点 $G(j\omega_{n-})H(j\omega_{n-})$ 起, 顺时针补作 $v \times 180^\circ$ 半径为无穷大的虚圆弧至 $\omega = \omega_{n+}$ 的对应点 $G(j\omega_{n+})H(j\omega_{n+})$ 处。

注意: 这里用“顺时针”描述, 虽然与PPT前页不一致, 但没有问题。

前页: 因为半闭合曲线, 无出发点, 只能“倒车”

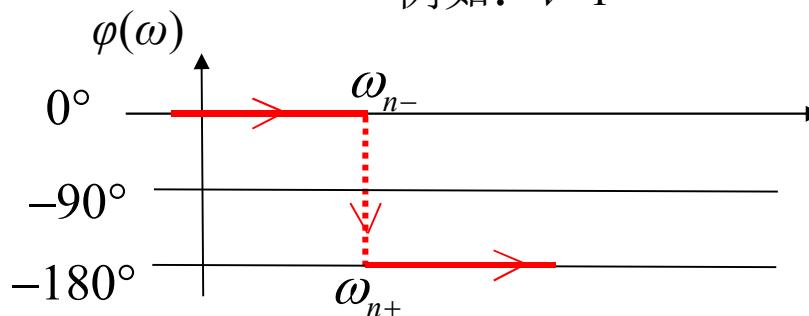
本页: 虽为半闭合曲线, 有出发点, 可以“前进”

两侧黄色部分一定要一一对应

对数频率特性曲线 Γ_L 和 Γ_φ

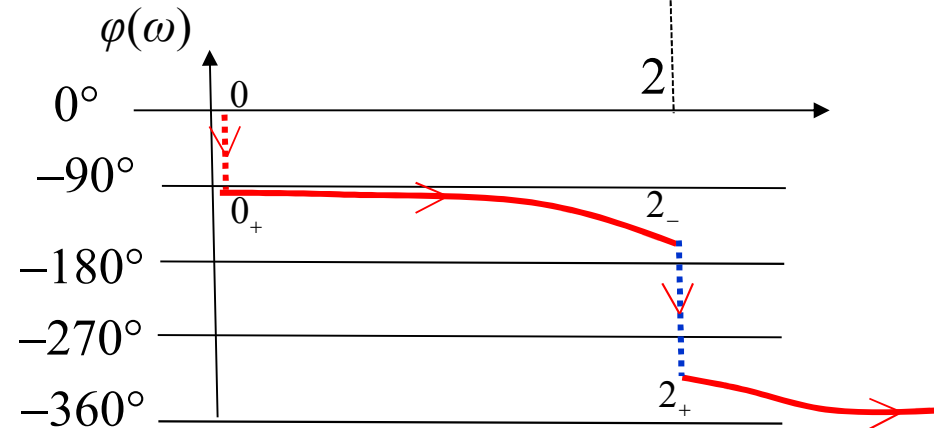
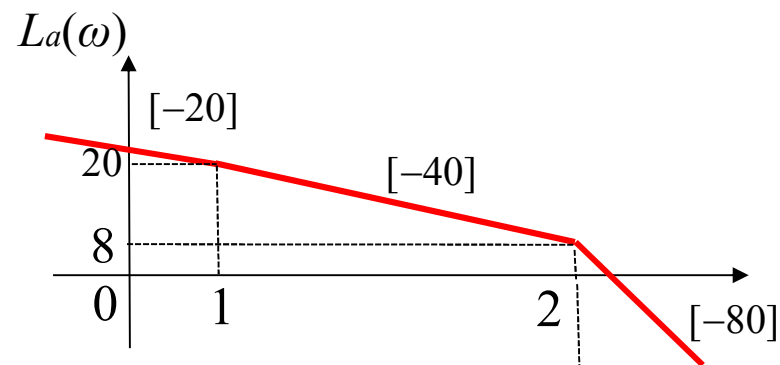
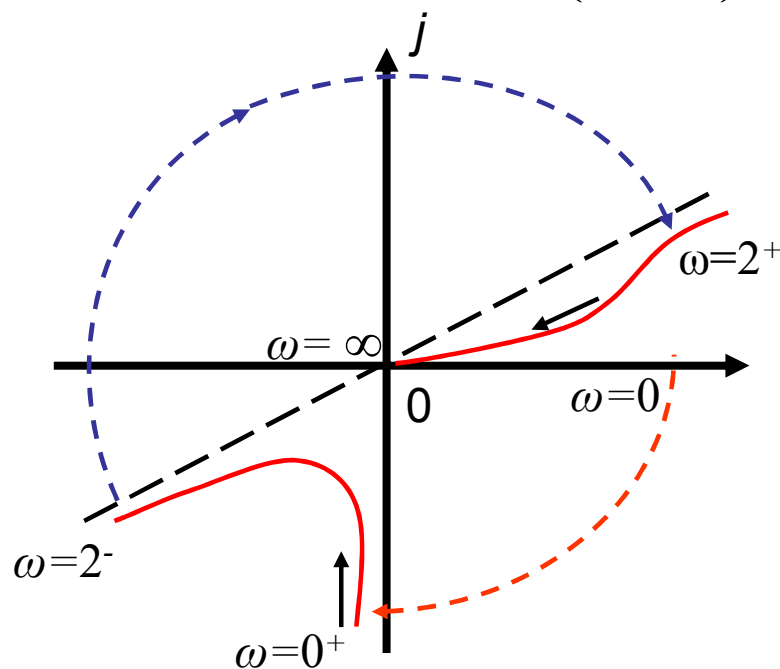
从对数相频特性曲线 $\varphi(\omega_{n-})$ 点向下补作 $v \times 180^\circ$ 的虚直线至 $\varphi(\omega_{n+})$ 处, $\varphi(\omega)$ 曲线和补作的虚直线构成 Γ_φ 。

例如: $v=1$



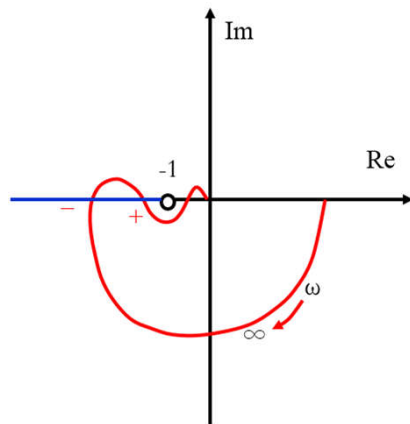
5.3 频率域稳定判据

例: $G(s) = \frac{10}{s(s+1)\left(\frac{s^2}{4} + 1\right)}$

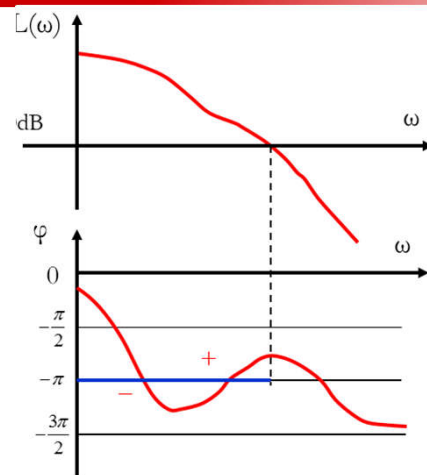


5.3 频率域稳定判据

3. 穿越次数计算



半闭合曲线 Γ_{GH}



对数频率特性曲线 Γ_L 和 Γ_φ

补作的虚直线所产生的穿越都为负穿越。

一次 { 正穿越一次
负穿越一次

Γ_{GH} 由上向下穿越 $(-1, j0)$ 点左侧负实轴一次。

Γ_{GH} 由下向上穿越 $(-1, j0)$ 点左侧负实轴一次。

当 $L(\omega) > 0$ 时 Γ_φ 移由下向上穿越 $(2k+1)\pi$ 线一次。

当 $L(\omega) < 0$ 时 Γ_φ 移由上向下穿越 $(2k+1)\pi$ 线一次。

半次 { 正穿越半次
负穿越半次

Γ_{GH} 由上向下止于或始于 $(-1, j0)$ 点左侧负实轴。

Γ_{GH} 由下向上止于或始于 $(-1, j0)$ 点左侧负实轴。

当 $L(\omega) > 0$ 时 Γ_φ 移由下向上止于或始于 $(2k+1)\pi$ 线。

当 $L(\omega) < 0$ 时 Γ_φ 移由上向下止于或始于 $(2k+1)\pi$ 线。

5.3 频率域稳定判据

对数频率稳定判据:

开环系统正实部的极点数为 P ，在 $L(\omega)>0$ 范围内， $\Gamma\varphi$ 曲线穿越 $(2k+1)\pi(k=0,\pm 1,\dots)$ 的次数 $N = N_+ - N_-$ ，满足 $Z = P - 2N = 0$ 。

反馈控制系统稳定的充要条件

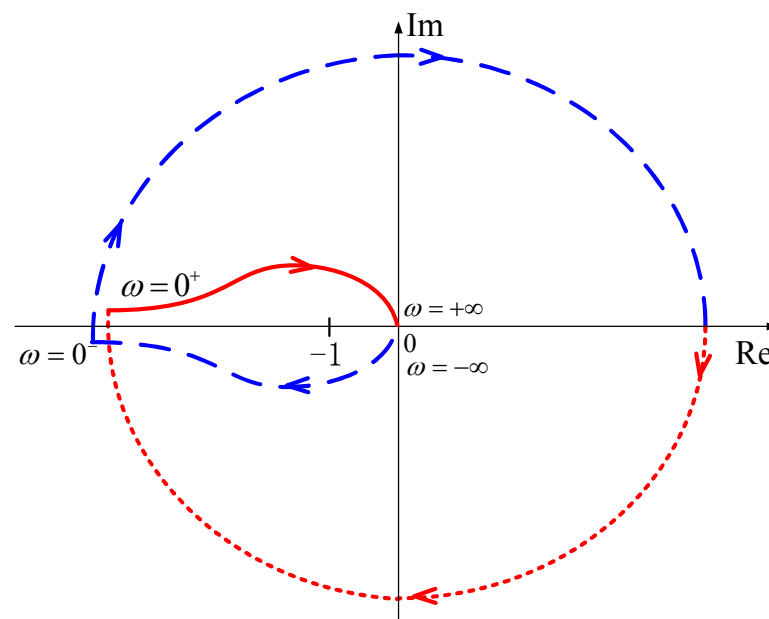
5.3 频率域稳定判据

例 系统开环传递函数为 $G(s)H(s) = \frac{10K}{s^2(s+1)}$ 试判断闭环系统的稳定性

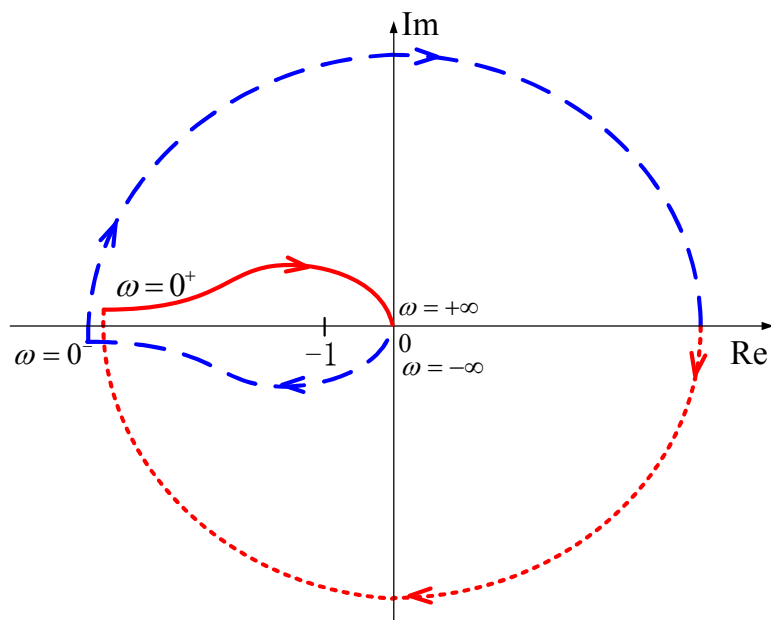
$$G(j\omega)H(j\omega) = \frac{10K}{(j\omega)^2(j\omega+1)} = \frac{10K(1-j\omega)}{(j\omega)^2(1+j\omega)(1-j\omega)} = -\frac{10K - j10K\omega}{\omega^2(1+\omega^2)} = \frac{-10K + j10K\omega}{\omega^2(1+\omega^2)}$$

$$= \frac{-10K}{\omega^2(1+\omega^2)} + j\frac{10K}{\omega(1+\omega^2)}$$

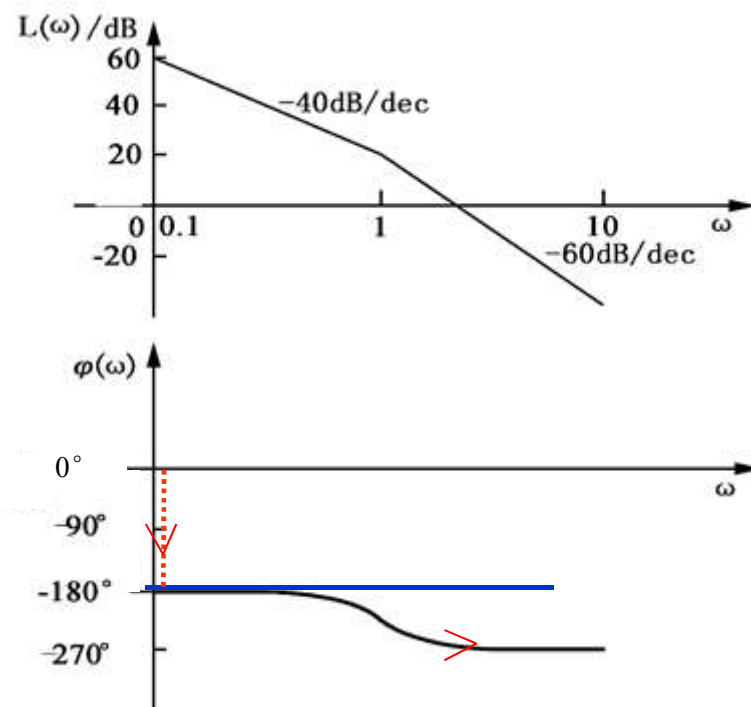
虚部: $\frac{10K}{\omega(1+\omega^2)} > 0 \quad (\omega > 0)$



5.3 频率域稳定判据



- 开环系统右半平面极点数 $P=0$;
- 半闭合曲线穿越次数 $N=N_+-N_-=-1$;
- 闭环系统右半平面极点数 $Z=P-2N=2$;
- 闭环系统不稳定。



- 开环系统右半平面极点数 $P=0$;
- $\Gamma_L > 0$ 范围内 Γ_ϕ 曲线穿越 $-\pi$ 次数
 $N=N_+-N_-=-1$;
- 闭环系统右半平面极点数 $Z=P-2N=2$;
- 闭环系统不稳定。

5.3 频率域稳定判据

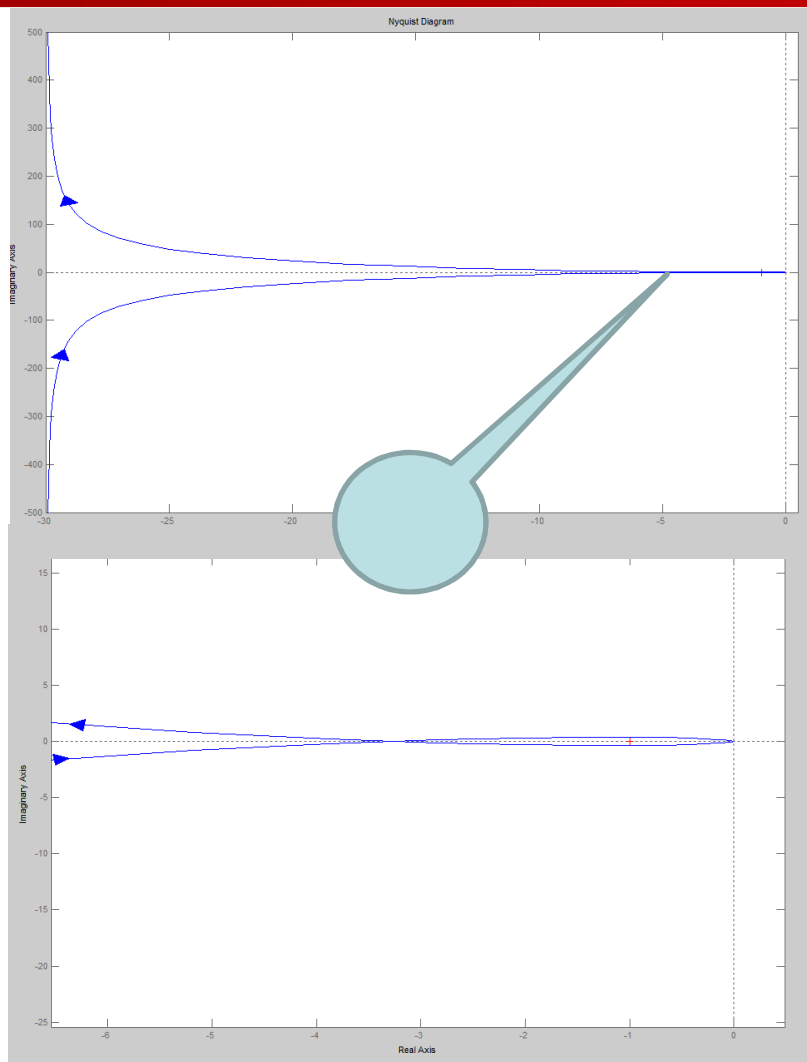
例 系统开环传递函数为 $G(s)H(s) = \frac{10}{s(s+1)(2s+1)}$

试判断闭环系统的稳定性。

开环系统右半平面极点数 $P=0$

作出开环系统的极坐标图和对数频率特性曲线（Bode图）

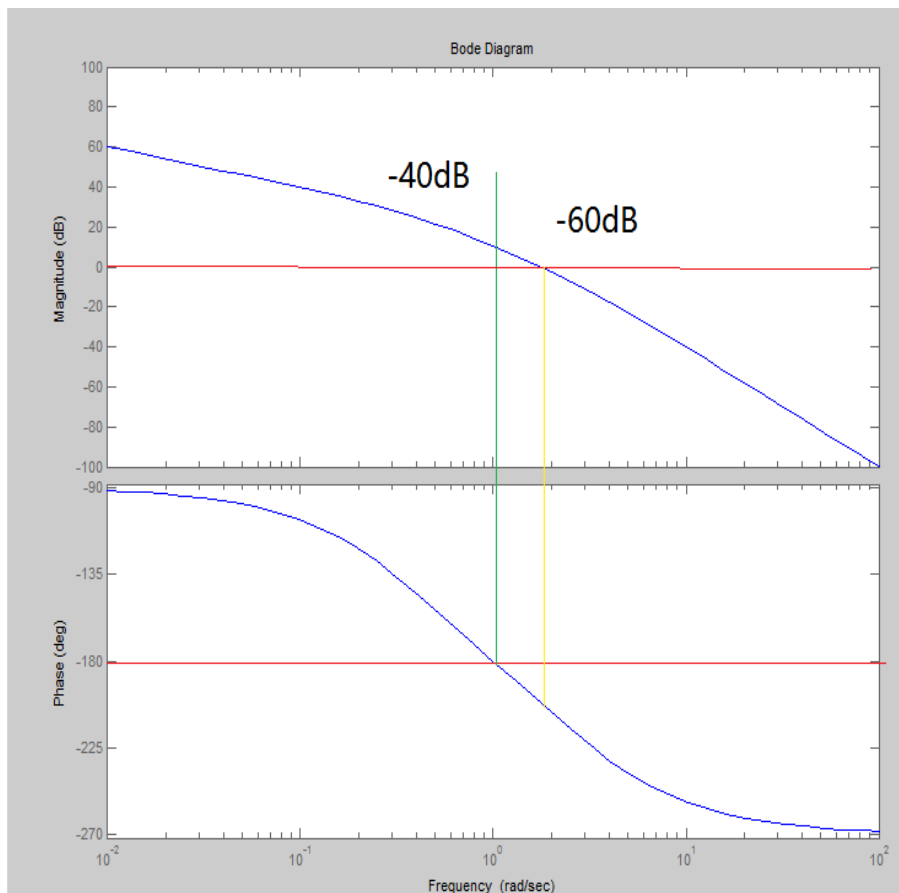
5.3 频率域稳定判据



- 开环系统右半平面极点数 $P=0$ 。
- 在 $(-1, -\infty)$ 区间, $N_+=0$, $N_-=1$ 。
- 闭环系统右半平面极点数 $Z=P-2N=2$ 。

闭环系统不稳定

5.3 频率域稳定判据



➤ 开环系统右半平面极点数 $P=0$ 。

➤ 在 $L(\omega)>0$ 的频段内, $N_+=0$,
 $N_-=1$ 。

➤ 闭环系统右半平面极点数
 $Z=P-2N=2$ 。

闭环系统不稳定

5.3 频率域稳定判据

四、条件稳定系统

- 1) 条件稳定系统：闭环系统的稳定性随开环传递函数的某些参数（如开环增益）变化而变化。
- 2) 结构不稳定系统：无论开环传递函数的系数怎样变化，闭环总是不稳定的。

本次课结束

- 1) 掌握奈奎斯特判据（基于幅相曲线）☆☆☆☆
- 2) 掌握对数频率稳定判据（基于对数频率曲线）
☆☆☆☆